



การประชุมวิชาการ

# เครือข่ายพลังงานแห่งประเทศไทยครั้งที่ 13

13<sup>TH</sup> CONFERENCE ON ENERGY NETWORK OF THAILAND

“ Sustainable Energy Development for Community and Innovation ”

31 พ.ค. - 2 มิ.ย. 2560 ณ โรงแรม ดิเอ็มเพรส เชียงใหม่



**MAEJO**  
**GO Eco**  
UNIVERSITY

## กำหนดการ

- ..... ส่งบทความวิจัยฉบับสมบูรณ์
- ..... ตอบรับบทความวิจัยฉบับสมบูรณ์
- ..... ส่งบทความวิจัยฉบับสมบูรณ์ (แก้ไข)
- ..... ลงทะเบียนล่วงหน้า
- ..... จัดงานประชุม E-NETT 13

- ก่อน วันที่ 17 เมษายน 2560
- วันที่ 30 เมษายน 2560
- ก่อน วันที่ 12 พฤษภาคม 2560
- วันที่ 1-26 พฤษภาคม 2560
- วันที่ 31 พฤษภาคม - 2 มิถุนายน 2560

จัดการประชุมโดย : วิทยาลัยพัฒนาภาคแยก มหาวิทยาลัยแม่โจ้ ร่วมกับ มหาวิทยาลัยเทคโนโลยีราชมงคลเชียงใหม่

|                |  |     |
|----------------|--|-----|
| ENETT13-EE-116 | การอบแห้งขี้นอ้อยโดยใช้มาร้อนร่วมกับรังสีอินฟราเรด   | 96  |
| ENETT13-EE-122 | การเพิ่มประสิทธิภาพระบบปรับอากาศโดยใช้หัวควบคุมจากอิเล็กทรอนิกส์<br>ให้ผ่านอุปกรณ์แลกเปลี่ยนความร้อนที่ติดเครื่องแบบสี่เหลี่ยมผืนผ้าyatlod<br>แนวท่อ         | 97  |
| ENETT13-EE-125 | การเพิ่มสมรรถนะชุดกังหันน้ำแบบเพลตตนขนาดเล็กสำหรับชุมชนคึริวง  | 98  |
| ENETT13-EE-158 | การศึกษาด้านประสิทธิอัตราการติดต่อของระบบปรับอากาศแบบกากเก็บความเย็นใน<br>รูปแบบแข็งร่วมกับความร้อนทิ้ง  | 99  |
| ENETT13-EE-175 | การออกแบบชุดคัดแยกขนาดฝุ่นละอองแบบสม่ือนสำหรับอุปกรณ์ตรวจวัด<br>ฝุ่นอัตราการไหลต่อ   | 100 |
| ENETT13-EE-177 | การประเมินพลังงานและควรบอนไดออกไซด์เพื่อการผลิตเอทานอล   | 101 |
| ENETT13-EE-186 | การปลดปล่อยมลพิษและประสิทธิภาพของเตาแก๊สหุงต้มเชื้อเพลิงแก๊สชีวภาพ<br>โดยการปรับปรุงทางออกหัวเผา   | 102 |
| ENETT13-EE-188 | การสังเคราะห์เชื้อเพลิงไฮโดรคาร์บอนเหลวจากเมทานอลในเครื่องปฏิกรณ์<br>แบบเบดเดนโดยใช้ ตัวเร่งปฏิกริยาชนิด H-ZSM-5   | 103 |
| ENETT13-EE-239 | การศึกษาผลกระทบของการเปลี่ยนผิวที่หัวฉีดของเตาแก๊สหุงต้มแล็ปเจ็ตต่อ<br>ประสิทธิภาพเชิงความร้อน   | 104 |
| ENETT13-EE-291 | การศึกษาสมรรถนะระบบการผลิตไฟฟ้าและความเย็นร่วมเรอร์โมอิเล็กตริก  | 105 |
| ENETT13-EE-321 | การประเมินแหล่งลม nokchay ผ่านทางเลื่อนบนด้วยแบบจำลอง MC2  | 106 |
| ENETT13-EE-329 | ความคุ้นเคย แบบจำลอง MS-Micro ภายใต้เงื่อนไขสภาพอากาศ จาก MERRA<br>ศักยภาพและเทคโนโลยีที่เหมาะสมของการจัดการขยายชุมชนในจังหวัด<br>นครศรีธรรมราช              | 107 |
| ENETT13-EE-333 | ตักษณะของการกระจายอุณหภูมิและความเรื้อรังของอากาศในกรณีการใช้ชีต<br>เตอร์สำหรับการกoglukสุกร   | 108 |
| ENETT13-EE-334 | ผลของปัจจัยที่มีต่อประสิทธิภาพการทำความร้อนของระบบกoglukสุกรแบบพื้น<br>กอก   | 109 |
| ENETT13-EE-335 | ผลของอุปกรณ์แยกสถานะสารทำความเย็นที่มีต่อสัมประสิทธิ์สมรรถนะใน<br>เครื่องปรับอากาศแบบแยกส่วน   | 110 |
| ENETT13-EE-346 | Simple Linear Heat Model for Virtual Water Estimation of Thermal<br>Power Plant with Wet Cooling System  | 111 |
| ENETT13-EE-347 | Energy-Water Nexus: Water of Electricity in Indonesia  | 112 |
| ENETT13-EE-375 | การประเมินสมรรถนะของระบบปรับอากาศแบบใช้สารดูดความชื้น  | 113 |
| ENETT13-ER-69  | ชัชมนีมีขามีการปรับตัวอย่างไรเมื่ออาทัยอยู่ในพื้นที่ที่มีคุณภาพต่ำ   | 114 |
| ENETT13-ER-97  | The aggregation nesting sites and melliferous flora of the giant<br>honeybees, Apis dorsata in Suanphung, Ratchaburi, Thailand                               | 115 |
| ENETT13-ER-317 | ศึกษารูปแบบการจัดการขยายของชุมชนแบบมีส่วนร่วม บ้านท่ากระดาษริม<br>แม่น้ำ ตำบลล้าช่าย อําเภอเมือง จังหวัดเชียงใหม่  | 116 |
| ENETT13-ER-378 | การศึกษาปริมาณอาหารขี้เลือยที่เหมาะสมกับการผลิตเห็ดหลินจือของ<br>เกษตรกรในจังหวัดเชียงใหม่ กรณีศึกษาที่ สวนเกษตรเห็ดแม่ใจ อําเภอสัน<br>ทราย จังหวัดเชียงใหม่ | 117 |
| ENETT13-ER-86  | ไฝเสริมป่า พัฒนาพลังงานน้ำ สร้างคุณภาพชีวิต  | 118 |
| ENETT13-ME-51  | การปรับสภาพด้วยปูนกาวและเคลือบเชิงมอไซด์จากเปลือกไข่ไก่ ด้วยวิธีเดร<br>ชัน ร่วมกับการเคลือบผังด้วยโพแทสเซียมคลอไรด์ เพื่อเร่งปฏิกริยาทราบส่อ<br>สเทอโรฟิลล์  | 119 |

## การเพิ่มประสิทธิภาพระบบปรับอากาศโดยใช้น้ำควบแน่นจากอิวพอร์เตอร์ให้ผลผ่านอุปกรณ์แลกเปลี่ยนความร้อนที่ติดคีรีบแบบสี่เหลี่ยมผืนผ้ายาวตลอดแนวท่อ

Performance Enhancement of Air Conditioning by Condensed Water of Evaporator Passing through Heat Exchanger with Straight Rectangular Fins along the Length of Pipe

สิริสวัสดิ์ จึงเจริญนิรุ๊ช<sup>1\*</sup>, ทวีตัน พุ่มสุการส<sup>2</sup>

<sup>1</sup> สาขาวิชาเทคโนโลยีเครื่องกล คณะเทคโนโลยีอุตสาหกรรม มหาวิทยาลัยราชภัฏเทพสุทิน

321 ตำบลลหุบคร อำเภอเมือง จังหวัดพะเยา 15000

<sup>2</sup> ภาควิชาคหศรีฯ เครื่องกล คณะคหศรีฯ อุตสาหกรรมและเทคโนโลยี มหาวิทยาลัยเทคโนโลยีราชภัฏเชียงใหม่

126 ถนนประชาอุทิศ แขวงบางมด เขตทุ่งครุ กรุงเทพมหานคร 10140

\*ผู้ติดต่อ: E-mail: sirisawat74@hotmail.com

### บทคัดย่อ

การวิจัยในครั้งนี้เป็นการศึกษาการเพิ่มประสิทธิภาพระบบปรับอากาศโดยใช้น้ำควบแน่นจากอิวพอร์เตอร์ให้ผลผ่านอุปกรณ์แลกเปลี่ยนความร้อนที่ติดคีรีบแบบสี่เหลี่ยมผืนผ้ายาวตลอดแนวท่อ ชุดทดลองประกอบไปด้วยระบบปรับอากาศแบบแยกส่วนชนิดอัดไอโหนด 3.52 kW (12,000 BTU/hr) ใช้สารทำความเย็น R-22 เป็นสารทำงาน คอนเดนเซอร์แบบบานพับด้วยอากาศ อุปกรณ์แลกเปลี่ยนความร้อนสร้างจากห้องแดงขนาดเส้นผ่านศูนย์กลาง 6.35 mm. ยาว 500 mm. ระยะห่างท่อ 55 mm. มีชุดท่อจำนวน 7 โค้งเดียว ติดคีรีบแผ่นทองแดงแบบสี่เหลี่ยมผืนผ้าที่ติดยาทาตลอดแนวท่อ หนา 1 กาก. ยาว 400 mm. กว้าง 30 mm. ระยะห่างระหว่างครีบ 13 mm. จากการทดลองพบว่าระบบปรับอากาศแบบติดตั้งอุปกรณ์แลกเปลี่ยนความร้อนที่ติดคีรีบแบบสี่เหลี่ยมผืนผ้ายาวตลอดแนวท่อสามารถลดอุณหภูมิอากาศก่อนเข้าคอนเดนเซอร์เฉลี่ย  $2.81^{\circ}\text{C}$  ซึ่งระบบปรับอากาศสามารถลดอุณหภูมิอากาศก่อนเข้าคอนเดนเซอร์เฉลี่ย  $2.81^{\circ}\text{C}$  ซึ่งระบบปรับอากาศแบบติดตั้งอุปกรณ์แลกเปลี่ยนความร้อนที่ติดคีรีบแบบสี่เหลี่ยมผืนผ้ายาวตลอดแนวท่อสามารถลดอุณหภูมิอากาศก่อนเข้าคอนเดนเซอร์เฉลี่ย  $2.81^{\circ}\text{C}$  ซึ่งระบบปรับอากาศแบบติดตั้งอุปกรณ์แลกเปลี่ยนความร้อนที่ติดคีรีบแบบสี่เหลี่ยมผืนผ้ายาวตลอดแนวท่อสามารถลดอุณหภูมิอากาศ

คำหลัก: ระบบปรับอากาศ, สารประสิทธิ์ของสมรรถนะ, อุปกรณ์แลกเปลี่ยนความร้อน, น้ำควบแน่น

### Abstract

The aim of this research was to study the performance enhancement of air conditioning by condensed water of evaporator passing through heat exchanger with straight rectangular fins along the length of pipe. The experimental designed equipment consisted of a split type air conditioning system with a capacity of 3.52 kW (12,000 BTU/hr), air cooled condenser, and R-22 refrigerant was used in the system. The heat exchanger was made of a copper u-turn bend tube with an external diameter of 6.35 mm., a length of 500 mm. with 55 mm. spacing between each tube. This copper tube bent into the shape with 7 turns, and the rectangular fins which were made from 1 mm. thickness, 400 mm. length and 30 mm. width copper board were adhered along the tube with 13 mm. spacing between each fin. The results showed that the average decrease of temperature was  $2.81^{\circ}\text{C}$ , increased the heat transfer of the system by 5.52 %, reduced power consumption by up to 3.72%. In terms of the highest coefficient of performance (COP) and the energy efficiency ratio (EER) for the system with an increase of 9.53 %.

**Keywords:** Air-Conditioning, Coefficient of Performance, Heat Exchanger Device, Condensed Water

### 1. บทนำ

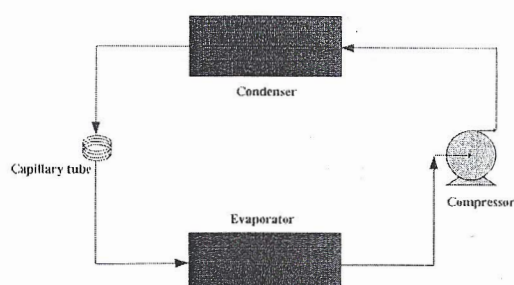
จากสภาพอากาศในปัจจุบันที่ร้อนขึ้นทุกขณะระบบปรับอากาศจึงได้ถูกนำมาใช้กันอย่างแพร่หลายทั้งในอาคาร สำนักงาน และที่พักอาศัย เพราะหน้าที่หลักของระบบปรับอากาศ คือ ควบคุมอุณหภูมิบริเวณที่ต้องการปรับอากาศ

ระบบปรับอากาศส่วนมากจะนิยมใช้เป็นแบบแยกส่วน (Split type) เพราะเป็นระบบที่ติดตั้งง่าย ราคาไม่แพง ระบบปรับอากาศแบบแยกส่วนใช้หลักการนำอากาศจากสิ่งแวดล้อมเป็นตัวถ่ายความร้อนออกจากคอนเดนเซอร์ [1,2] และด้วยสภาพอากาศที่ร้อนคอนเดนเซอร์จึงถ่ายความ

ร้อนได้ไม่ตี ส่งผลให้ระบบปรับอากาศมีประสิทธิภาพลดลง ใช้ พลังงานมากขึ้น พลังงานไฟฟ้าที่ใช้ในการทำงานของระบบ ปรับอากาศนั้น นับได้ว่าเป็นพลังงานที่มีอัตราการสูญเสียที่มาก ซึ่งอาจเกิดการขาดแคลนได้ในอนาคต จากงานวิจัยที่ผ่านมา มี หลายวิธีการในการเพิ่มประสิทธิภาพให้ระบบปรับอากาศ เช่น การศึกษาการควบคุมอุณหภูมิภายในห้องปรับอากาศให้มีความ เหมาะสมเพื่อลดภาระการทำงานของเครื่องปรับอากาศ [3,4] การศึกษาเบรี่ยบเทียบเพิ่มประสิทธิภาพการถ่ายเทความร้อนของ คอนденเซอร์แบบร่ายความร้อนด้วยน้ำ และร่ายความ ร้อนด้วยอากาศ [5] การลดอุณหภูมิอากาศและสารทำความเย็นก่อนเข้าコンденเซอร์ [6,7] อีกทั้งการใช้อุปกรณ์ แลกเปลี่ยนความร้อนร่วมกับน้ำคูลแหน่งจากอิวพาเรเตอร์ ก็ เป็นอีกวิธีการหนึ่งที่สามารถเพิ่มประสิทธิภาพและลดการใช้ พลังงานให้กับระบบปรับอากาศได้ [8] และเมื่อพิจารณาที่ อุปกรณ์แลกเปลี่ยนความร้อนหากเพิ่มพื้นที่ถ่ายเทความร้อน ด้วยวิธีการติดเคร็บก็จะสามารถถึงอุณหภูมิของน้ำคูลแหน่งได้ดี ยิ่งขึ้น เพราะเคร็บเป็นพื้นผิวส่วนที่เพิ่มขึ้นจากผิวแผ่นหรือท่อที่ มีอยู่ และถ้าสามารถเพิ่มเคร็บให้มีความยาวตลอดแนวท่อได้ ก็จะมีพื้นที่การถ่ายเทความร้อนได้มากขึ้น ส่งผลทำให้ ประสิทธิภาพการถ่ายเทความร้อนสูงกว่าท่อผิวเรียบ [9] ดังนั้น ผู้วิจัยจึงมีความสนใจศึกษาการเพิ่มประสิทธิภาพระบบปรับอากาศโดยใช้น้ำคูลแหน่งจากอิวพาเรเตอร์ให้ผ่านอุปกรณ์ แลกเปลี่ยนความร้อนที่ติดเคร็บแบบสี่เหลี่ยมผืนผ้ายาวตลอด แนวท่อ เพื่อเพิ่มประสิทธิภาพ และลดการใช้พลังงานในระบบ ปรับอากาศ อีกทั้งยังเป็นการใช้พลังงานให้เกิดความคุ้มค่ามากที่สุด

## 2. ทฤษฎี

### 2.1 หลักการทำงานของระบบปรับอากาศ



รูปที่ 1 วงจรระบบปรับอากาศคอมเพรสเซอร์แบบอัดไอ

จากรูปที่ 1 เมื่อเปิดระบบปรับอากาศคอมเพรสเซอร์จะ ดูดสารทำความเย็นที่มีสถานะเป็นแก๊สอุณหภูมิต่ำ แรงดันต่ำ จากอิวพาเรเตอร์แล้วดูดสารทำความเย็นให้มีอุณหภูมิสูงไปยัง คอนденเซอร์เพื่อร่ายความร้อน และควบแน่นสารทำความเย็นให้เหลว จากนั้นสารทำความเย็นจะไหลผ่าน แคปปิลารี่ที่ว่างเพื่อลดแรงดันและสารทำความเย็นก็จะไหลเข้าสู่

อิวพาเรเตอร์ขณะที่สารทำความเย็นสถานะของเหลวภายใน อิวพาเรเตอร์ ระยะตัวเปลี่ยนสถานะเป็นแก๊สจะดูดรับ ปริมาณความร้อนจากอากาศโดยรอบ ทำให้อากาศโดยรอบที่ เครื่องระเหยมีอุณหภูมิลดต่ำลง สารทำความเย็นที่ออกจาก อิวพาเรเตอร์ก็จะไหลไปยังคอมเพรสเซอร์ เป็นวัสดุจักร ต่อไป [1]

ระบบปรับอากาศแบบอัดไอ งานคอมเพรสเซอร์ สามารถพิจารณาได้จากการที่ 1

$$W_{comp} = \dot{m}_r (h_{comp,o} - h_{comp,i}) \quad (1)$$

เมื่อ

$W_{comp}$  คือ งานคอมเพรสเซอร์, kW

$\dot{m}_r$  คือ อัตราการไหลสารทำความเย็น, kg/s

$h_{comp,o}$  คือ เอนthalpieทางออกคอมเพรสเซอร์, kJ/kg

$h_{comp,i}$  คือ เอนthalpieทางเข้าคอมเพรสเซอร์, kJ/kg

อัตราการถ่ายเทความร้อนของคอนเดนเซอร์จากการ ทดลองสามารถคำนวณหาได้จากการที่ 2

$$Q_{cond} = \dot{m}_r (h_{cond,i} - h_{cond,o}) \quad (2)$$

เมื่อ

$Q_{cond}$  คือ อัตราการถ่ายเทความร้อนของคอนเดนเซอร์, kW

$h_{cond,i}$  คือ เอนthalpieทางเข้าคอนเดนเซอร์, kJ/kg

$h_{cond,o}$  คือ เอนthalpieทางออกคอนเดนเซอร์, kJ/kg

อัตราการถ่ายเทความร้อนของอิวพาเรเตอร์จากการ ทดลองสามารถคำนวณหาได้จากการที่ 3

$$Q_{evap} = \dot{m}_r (h_{evap,o} - h_{evap,i}) \quad (3)$$

เมื่อ

$Q_{evap}$  คือ อัตราการถ่ายเทความร้อนของอิวพาเรเตอร์, kW

$h_{evap,o}$  คือ เอนthalpieทางออกอิวพาเรเตอร์, kJ/kg

$h_{evap,i}$  คือ เอนthalpieทางเข้าอิวพาเรเตอร์, kJ/kg

การวิเคราะห์สัมประสิทธิ์ของสมรรถนะของระบบปรับอากาศสามารถพิจารณาได้จากการที่ 4

$$COP = \frac{Q_{evap}}{W_{comp}} \quad (4)$$

เมื่อ

$COP$  คือ สัมประสิทธิ์ของสมรรถนะของระบบปรับอากาศ

การวิเคราะห์อัตราส่วนประสิทธิภาพพัฒนาของระบบ ปรับอากาศสามารถพิจารณาได้จากการที่ 5

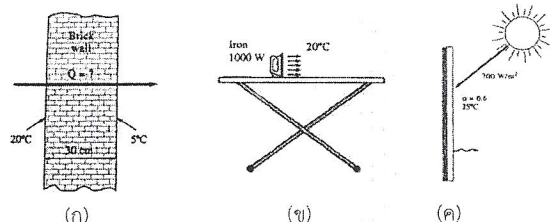
$$EER = COP \times 3.412 \quad (5)$$

เมื่อ

$EER$  คือ อัตราส่วนประสิทธิภาพของระบบปรับอากาศ

## 2.2 กลไกในการถ่ายโอนความร้อน มี 3 แบบ ดังนี้

(ก) การนำความร้อน (conduction), (ข) การพาความร้อน (convection) และ (ค) การแผ่รังสีความร้อน (radiation) ดังแสดงในรูปที่ 2 [10]



รูปที่ 2 กลไกในการถ่ายเทความร้อน

การนำความร้อน การนำความร้อนเป็นวิธีการที่ความร้อนเคลื่อนที่จากบริเวณที่มีอุณหภูมิสูงไปยังบริเวณที่มีอุณหภูมิต่ำภายในตัวกลางเดียว กันหรือระหว่างตัวกลางต่างชนิดที่อยู่ติดกัน ซึ่งการถ่ายโอนความร้อนเกิดจากผลของการเคลื่อนที่ของโมเลกุลภายในตัวกลาง

การพาความร้อน การพาความร้อนเป็นการถ่ายโอนความร้อนระหว่างผิวของเชิงกับของเหลวที่มีการเคลื่อนที่ซึ่งอาจล่ามได้ว่าการพาความร้อนเกิดขึ้นจากผลของการนำความร้อนรวมกับการเคลื่อนที่ของของเหลว

การแผ่รังสีความร้อน การแผ่รังสีความร้อนเป็นการถ่ายโอนความร้อนโดยไม่ต้องอาศัยตัวกลาง ความร้อนจากการแผ่รังสีจะเคลื่อนที่ไปในรูปของคลื่นแม่เหล็กไฟฟ้า (electromagnetic wave) การแผ่รังสีความร้อนจะเกิดได้ในบริเวณที่เป็นสัญญาณ

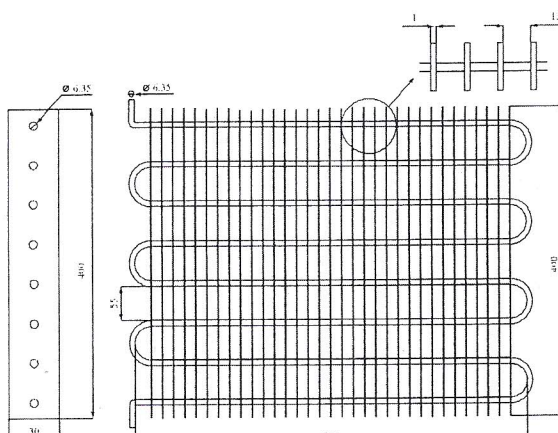
## 2.3 ทฤษฎีการถ่ายเทความร้อนจากเครื่องทำความร้อน

ความร้อนที่ถ่ายเทผ่านวัสดุที่เป็นของแข็งโดยการนำมักจะถูกขยายออกจากวัสดุที่เป็นของแข็งโดยการพาความร้อนแต่เพียงอย่างเดียว แต่เมื่อจากอัตราการพาความร้อนนี้เป็นสัดส่วนโดยตรงกับพื้นที่ของผิว ดังนั้นจึงสามารถเพิ่มอัตราการระบายความร้อนที่ผิวนี้ได้ด้วยการยืดผิวออกไปจากวัสดุ ส่วนของวัสดุที่ยืดออกมานานาจากผิวของวัสดุตัวแม่นี้เรียกว่า ครีบ ระบายความร้อน [11]

## 3. อุปกรณ์และวิธีการทดลอง

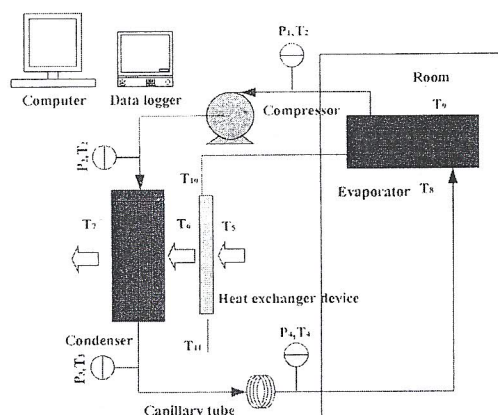
ระบบปรับอากาศแบบอัดไอกันด 3.52 kW (12,000 BTU/hr) โดยใช้สารทำความเย็น R-22 เป็นสารทำงาน คอนเดนเซอร์ระบายความร้อนด้วยอากาศ อุปกรณ์แลกเปลี่ยนความร้อนสร้างจากท่อห้องแดงขนาดเส้นผ่าศูนย์กลาง 6.35 mm. ยาว 500 mm. ระยะห่างท่อ 55 mm. มีชดท่อจำนวน 7 โค้งเลี้ยว ติดครีบแผ่นห้องแดงแบบสี่เหลี่ยมผืนผ้าที่ติด

ยาวตลอดแนวท่อ หนา 1 mm. ยาว 400 mm. กว้าง 30 mm. ระยะห่างระหว่างครีบ 13 mm. ดังแสดงในรูปที่ 3



รูปที่ 3 อุปกรณ์แลกเปลี่ยนความร้อนที่ติดครีบสี่เหลี่ยมผืนผ้า ยาวตลอดแนวท่อ

ในการทดลองควบคุมอุณหภูมิในห้องทดลองที่ 24-26 °C วัดอุณหภูมิสารทำความเย็น อากาศ และน้ำควบแน่นด้วยเทอร์โมคันப์ชนิด K วัดความตันในระบบโดยใช้บอร์จเกจ และวัดอัตราการไหลของอากาศโดยใช้อเนาโนมิเตอร์ การเก็บข้อมูลในการทดลอง ทำการเก็บข้อมูล ณ ตำแหน่งต่างๆ โดยบันทึกทุก 30 นาที เป็นเวลา 12 ชั่วโมง ดังแสดงในรูปที่ 4



รูปที่ 4 ตำแหน่งวัดอุณหภูมิและความตันของระบบปรับอากาศ

เมื่อ

$P_1 - P_4$  คือ ความดันของสารทำความเย็น, Mpa

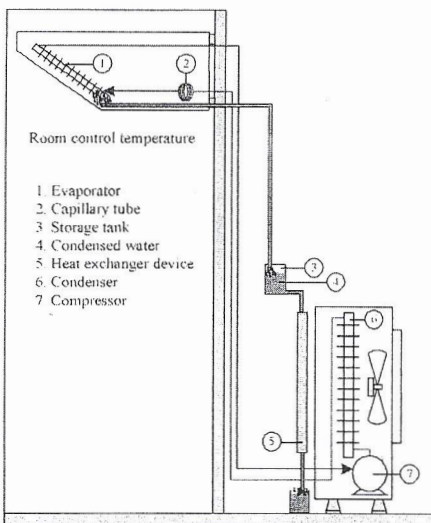
$T_1 - T_4$  คือ อุณหภูมิของสารทำความเย็น, °C

$T_5 - T_9$  คือ อุณหภูมิของอากาศ, °C

$T_{10} - T_{11}$  คือ อุณหภูมิของน้ำควบแน่น, °C

จากรากฐานการทำงานของระบบปรับอากาศจะเกิดน้ำควบแน่นบริเวณอิวาวพอเรเตอร์ ในการทดลองจะใช้น้ำควบแน่นให้ผ่านอุปกรณ์แลกเปลี่ยนความร้อนที่ติดตั้งบริเวณทางเข้า

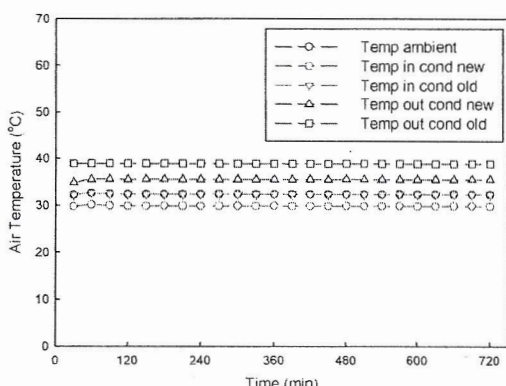
อากาศของคอนเดนเซอร์ เมื่ออากาศให้ผลผ่านอุปกรณ์แลกเปลี่ยนความร้อน อากาศจะมีอุณหภูมิลดลงก่อนที่จะเข้าไปถ่ายเทคความร้อนให้กับคอนเดนเซอร์ตั้งแต่ในรูปที่ 5



รูปที่ 5 อุปกรณ์แลกเปลี่ยนความร้อนที่ติดตั้งกับระบบปรับอากาศ

#### 4. ผลการวิจัย

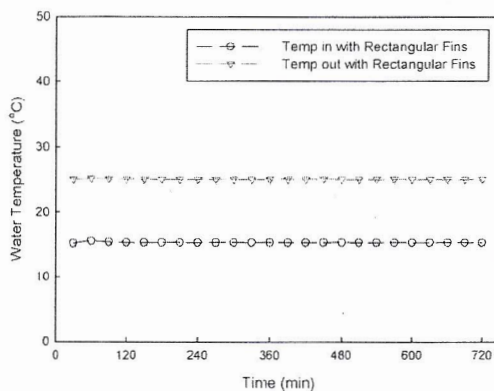
จากการศึกษาการเพิ่มประสิทธิภาพระบบปรับอากาศโดยใช้น้ำควบแน่นจากอิวาร์พอเรเตอร์ให้ผลผ่านอุปกรณ์แลกเปลี่ยนความร้อนที่ติดเครื่องแบบสี่เหลี่ยมผืนผ้ายาวตลอดแนวท่อสามารถลดอุณหภูมิได้ดังนี้



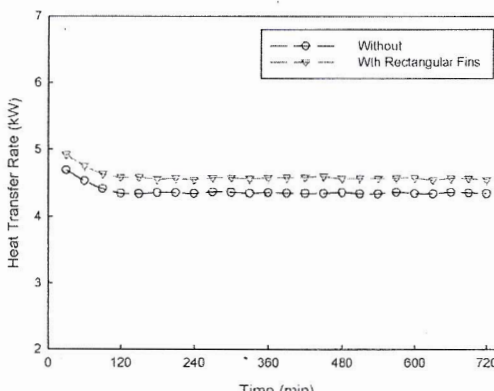
รูปที่ 6 อุณหภูมิของอากาศเทียบกับเวลา

จากรูปที่ 6 แสดงการเปรียบเทียบอุณหภูมิของอากาศเทียบกับเวลาของระบบปรับอากาศที่ติดตั้งอุปกรณ์แลกเปลี่ยนความร้อน และไม่ได้ติดตั้งอุปกรณ์แลกเปลี่ยนความร้อน พบร้าอากาศก่อนให้ผลผ่านอุปกรณ์แลกเปลี่ยนความร้อนมีอุณหภูมิเฉลี่ย  $32.94^{\circ}\text{C}$  เมื่ออากาศให้ผลผ่านอุปกรณ์แลกเปลี่ยนความร้อน มีอุณหภูมิเฉลี่ย  $32.94^{\circ}\text{C}$  เมื่ออากาศให้ผลผ่านอุปกรณ์แลกเปลี่ยนความร้อน อากาศจะมีอุณหภูมิลดลงเฉลี่ย  $2.81^{\circ}\text{C}$  ในส่วนของอุณหภูมน้ำควบแน่นที่ออกจากอิวาร์พอเรเตอร์มีอุณหภูมิเฉลี่ย

$15.32^{\circ}\text{C}$  และเมื่อน้ำควบแน่นให้ผ่านอุปกรณ์แลกเปลี่ยนความร้อน น้ำจะเป็นตัวดูดซึบความร้อนของอากาศก่อนที่จะเข้าไปถ่ายเทคความร้อนให้กับคอนเดนเซอร์ น้ำที่ออกจากอุปกรณ์แลกเปลี่ยนความร้อนจะมีอุณหภูมิสูงขึ้นเท่ากับ  $26.22^{\circ}\text{C}$  ดังแสดงในรูปที่ 7



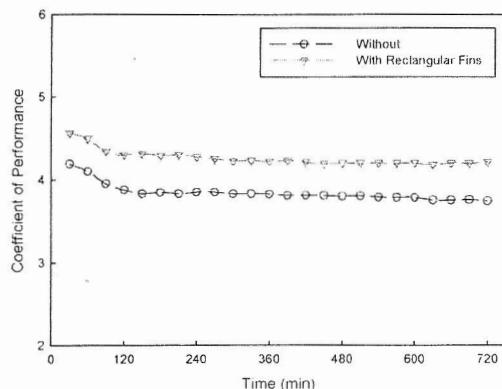
รูปที่ 7 อุณหภูมิของน้ำควบแน่นเทียบกับเวลา



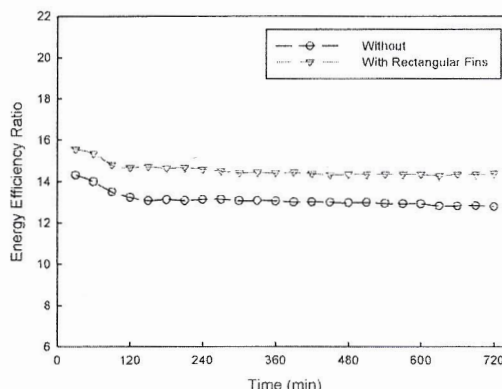
รูปที่ 8 อัตราการถ่ายเทคความร้อนของคอนเดนเซอร์เทียบกับเวลา

จากรูปที่ 8 แสดงอัตราการถ่ายเทคความร้อนของคอนเดนเซอร์เทียบกับเวลา ของระบบปรับอากาศที่ติดตั้งอุปกรณ์แลกเปลี่ยนความร้อน และไม่ได้ติดตั้งอุปกรณ์แลกเปลี่ยนความร้อน พบร้าอัตราการถ่ายเทคความร้อนของคอนเดนเซอร์เท่ากับ  $4.58\text{ kW}$  และ  $4.34\text{ kW}$  ตามลำดับ เนื่องจากระบบปรับอากาศที่ติดตั้งอุปกรณ์แลกเปลี่ยนความร้อนได้มีการลดอุณหภูมิของอากาศก่อนเข้ามาถ่ายเทคความร้อนให้กับคอนเดนเซอร์ จึงส่งผลให้คอนเดนเซอร์ถ่ายเทคความร้อนเพิ่มขึ้น อีกทั้งสารทำความเย็นที่ทางออกคอนเดนเซอร์มีสถานะ subcooled ทำให้สารทำความเย็นที่เข้าสู่อิวาร์พอเรเตอร์แตกตัวเป็นฝอยละเอียดได้ดีกว่า ส่งผลให้สารทำความเย็นสามารถแลกเปลี่ยนกับภาวะในการปรับอากาศได้ปริมาณความร้อนที่สูง มีผลให้สัมประสิทธิ์ของสมรรถนะของระบบปรับอากาศที่ติดตั้งอุปกรณ์แลกเปลี่ยนความร้อนมีค่าสูงกว่าระบบที่ไม่ได้ติดตั้ง

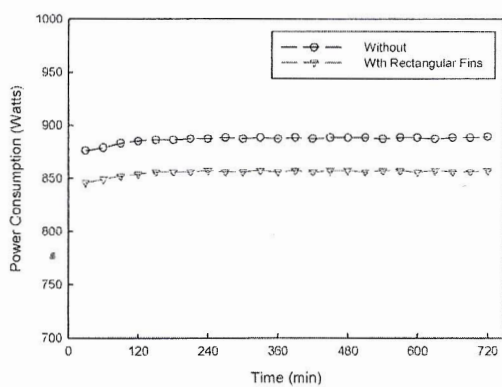
อุปกรณ์แลกเปลี่ยนความร้อนเท่ากับ 4.25 และ 3.88 ตามลำดับ แสดงดังรูปที่ 9 ซึ่งสอดคล้องกับอัตราส่วนประสิทธิภาพของระบบปรับอากาศมีค่าเท่ากับ 14.50 และ 13.23 ตามลำดับ แสดงดังรูปที่ 10



รูปที่ 9 สัมประสิทธิ์ของสมรรถนะของระบบปรับอากาศ เทียบกับเวลา



รูปที่ 10 อัตราส่วนประสิทธิภาพของระบบปรับอากาศ เทียบกับเวลา



รูปที่ 11 กำลังไฟฟ้าของระบบปรับอากาศเทียบกับเวลา

จากรูปที่ 11 แสดงการใช้กำลังไฟฟ้าของระบบปรับที่ติดตั้งและไม่ติดตั้งอุปกรณ์แลกเปลี่ยนความร้อน พบร่วาใช้กำลังไฟฟ้าเท่ากับ 855.62 W และ 888.75 W ตามลำดับ

เนื่องมาจากระบบปรับอากาศที่ติดตั้งอุปกรณ์แลกเปลี่ยนความร้อนมีอัตราการถ่ายเทความร้อนที่ดีมีผลให้มอเตอร์คอมเพรสเซอร์ทำงานลดลง จึงส่งผลให้ใช้กำลังไฟฟ้าต่ำกว่า

## 5. สรุปผลการวิจัย

จากการศึกษาการเพิ่มประสิทธิภาพระบบปรับอากาศโดยใช้น้ำควบแน่นจากอิพาวโพร์ไวโลผ่านอุปกรณ์แลกเปลี่ยนความร้อนที่ติดเครื่องแบบสี่เหลี่ยมผืนผ้ายาวต่อกันแนวต่อแนวตั้ง ชุดทดลองประกอบไปด้วยระบบปรับอากาศแบบแยกส่วนชนิดอัดไอโอนิก 3.52 kW (12,000 BTU/hr) ใช้สารทำความเย็น R-22 เป็นสารทำงาน ค่อนedenเชอร์แบบรายความร้อนตัวยก จากการทดลองพบว่าระบบปรับอากาศแบบสี่เหลี่ยมผืนผ้ายาวต่อกันแนวต่อแนวตั้งสามารถลดอุณหภูมิอากาศก่อนเข้าห้องเดนเชอร์เฉลี่ย  $2.81^{\circ}\text{C}$  ซึ่งระบบปรับอากาศสามารถถ่ายความร้อนได้เพิ่มขึ้น 5.52% ใช้กำลังไฟฟ้าลดลง 3.72% มีค่าสัมประสิทธิ์ของสมรรถนะและอัตราส่วนประสิทธิภาพของระบบปรับอากาศเพิ่มขึ้น 9.53%.

## 6. กิตติกรรมประกาศ

ขอขอบคุณ มหาวิทยาลัยราชภัฏเพชรบุรีที่สนับสนุนทุนวิจัยครั้งนี้ ขอขอบคุณสาขาวิชาเทคโนโลยีเครื่องกล คณะเทคโนโลยีอุตสาหกรรม มหาวิทยาลัยราชภัฏเพชรบุรี ที่อำนวยความสะดวก ให้ความอนุเคราะห์สถานที่ เครื่องมือ และอุปกรณ์ต่างๆ ในงานวิจัย จนสำเร็จลุล่วงไปด้วยดี

## 7. เอกสารอ้างอิง

- [1] Stoecker, W.F. and Jones, J.W. (1982) *Refrigeration & Air Conditioning*, 2<sup>nd</sup> international edition, McGraw-Hill, Singapore.
- [2] สมศักดิ์ สุ่มตยกุล, เครื่องทำความเย็นและปรับอากาศ, บริษัท ชีเอ็ดดี้เคชั่น จำกัด (มหาชน).
- [3] Yamtraipat, N., Khedari, J. and Hirunlabh, J. (2005) Thermal comfort standards for air conditioned buildings in hot and humid Thailand considering additional factors of acclimatization and education level. *Solar Energy*, Vol. 78(4) pp. 504-517.
- [4] Juengjaroennirachon, S., Namprakai, P., Pratinthong, N., Suparos T. and Roonprasang, N. (2012) A study of the amount of condensed water coming out of evaporator under different air temperature conditions affecting energy savings in air-conditioning system. *Proceeding of the 13th The International Conference*

of the Thai Society of Agricultural Engineering, Chiang Mai, Thailand, 4-5 April 2012, pp. 1081-1087.

[5] สิริสวัสดิ์ จึงเจริญนิรชร อุ่นคิษฐ์ อั้นманะตระกูล และ ทวีวนัน สุการส (2549). การศึกษาเบรี่ยบเทียบค่า COP ของระบบปรับอากาศแบบบายความร้อนด้วยน้ำและอากาศ, งานประชุมครุศาสตร์อุตสาหกรรมแห่งชาติครั้งที่ 1, 7-8 ธันวาคม พ.ศ. 2549.

[6] Hajidavalloo, E. (2007) Application of evaporative cooling on the condenser of window-air-conditioner. *Applied Thermal Engineering*, Vol. 27(11-12), pp. 1937-1943.

[7] Juengjaroennirachon, S. Pratinthong, N. Namprakai, P. and Suparos T. (2017) Performance Enhancement of Air Conditioning using Thermosyphon System's Energy Storage Unit for Cooling Refrigerant before entering the Condenser. *Journal of Mechanical science and Technology*, Vol. 31(1), pp. 393-400.

[8] Juengjaroennirachon, S. (2016) A Study of Air Temperature Reduction before Entering the Condenser by Condensed Water of Evaporator Passing through Heat Exchanger. *Proceeding of the 4th National and International Research and Academic Conference (RUNIRAC IV)*, Buriram, Thailand, 22-24 November 2016, pp. 385-394.

[9] Hoonpong, P. Arkamanont, N. Suwannapan, S. Juengjaroennirachon S. and Promvonge, P. (2014) Effects of Inclined Baffles on Thermal Characteristics in a Square Duct. The 5th TSME International Conference on Mechanical Engineering, Chiang Mai, Thailand, 17-19 December 2014.

[10] สมชาย อัครทิวา และ ขวัญจิต วงศ์ชาลี (2547). เทอร์โมไคนา米ิกส์, บริษัท สำนักพิมพ์ห้อป จำกัด.

[11] สุนันท์ ศรันยนิตย์ (2545). การถ่ายเทความร้อน, สำนักพิมพ์สมาคมส่งเสริมเทคโนโลยี (ไทย-ญี่ปุ่น).